Дискуссионный клуб в Разливе

Прецизионное измерение энергии на e^+e^- коллайдерах

Виктор Жилич и использовались материалы из докладов И.Николаев+Н.Мучной



Институт ядерной физики имени Г. И. Будкера СО РАН Новосибирск

25 июля 2025



Для чего нужно точное измерение энергии пучков?

Список согласно часторывероятности применения:

- Воспроизводимость и стабильность режимов работы ускорителя или накопителя.
- Работа в области резонансов или пороговых сечений
- Абсолютая калибровка измерения импульсов в трековой системе детекторов
- Измерение масс частиц, особенно узких резонансов.

Использование в экспериментах по точному измерению масс

Частица	Установка	Детектор	Дата
Φ, K^{\pm}	ВЭПП-2М	ОЛЯ	1975-1979
$J/\psi,\psi(2S)$	ВЭПП-4	ΝΠΟ	1980
$\Upsilon(1S),\Upsilon(2S),\Upsilon(3S)$	ВЭПП-4	МД-1	1982 - 1986
$\Upsilon(1S)$	CESR	CUSB	1984
$\Upsilon(2S)$	DORIS II	ARGUS, Crystal Ball	1983
K^{0},ω	ВЭПП-2М	КМД	1987
Z	LEP	ALEPH, DELPHI, L3, OPAL	1993
$J/\psi, \psi(2S), \tau, D^0, D^{\pm} \psi(3770)$	ВЭПП-4М	КЕДР	2002-2015

Измерение масс частиц на ВЭПП-4

Частица	Масса, МэВ	Точность $\Delta M/M$	Детектор	Годы
$\overline{J/\psi}$	3096.93 ± 0.09	$2.9 \cdot 10^{-5}$	OLYA	1979-1980
$\psi(2S)$	3686.00 ± 0.10	$2.7 \cdot 10^{-5}$	OLYA	1979 - 1980
$\Upsilon(1S)$	$9460.57 \pm 0.09 \pm 0.05$	$1.1 \cdot 10^{-6}$	MD-1	1983 - 1985
$\Upsilon(2S)$	10023.5 ± 0.5	$5.0 \cdot 10^{-5}$	MD-1	1983 - 1985
$\Upsilon(3S)$	10355.2 ± 0.5	$4.8 \cdot 10^{-5}$	MD-1	1983 - 1985
J/ψ	$3096.900 \pm 0.002 \pm 0.006$	$2.0 \cdot 10^{-6}$	KEDR	2002-2008
$\psi(2S)$	$3686.099 \pm 0.004 \pm 0.009$	$2.7 \cdot 10^{-6}$	KEDR	2002-2008
$\psi(3770)$	$3772.9 \pm 0.5 \pm 0.6$	$2.1 \cdot 10^{-4}$	KEDR	2002-2006
D^0	$1865.30 \pm 0.33 \pm 0.23$	$2.2\cdot 10^{-4}$	KEDR	2004
D^+	$1869.53 \pm 0.49 \pm 0.20$	$2.8 \cdot 10^{-4}$	KEDR	2004
au	$1776.69^{+0.17}_{-0.19} \pm 0.15$	$1.4 \cdot 10^{-4}$	KEDR	2005-2008
D^0	$1865.100 \pm 0.210 \pm 0.039$	$1.1 \cdot 10^{-4}$	KEDR	2024
D^+	$1869.560 \pm 0.288 \pm 0.089$	$1.6 \cdot 10^{-4}$	KEDR	2024

Методы измерения энергии пучка: Стандартные

• Измерение с использованием магнитного поля вдоль орбиты. Опирается на две простые формулы: E = eBR и $d\varphi = dl/R$, где E — энергия, B — магнитное поле. По теории циклических ускорителей (решения Флоке), частицы движутся по замкнутым траекториям и можно проинтегрировать по 2π .

Поле может быть рассчитано на основе токов в магнитах или даже измерено вдоль всей орбите. Нужна хорошая система пикапов для учета влияния линз и других элементов.

К примеру, КЕКВ при первом запуске в 1999 г попал на пик $\Upsilon(4S)$ M=10580 MeV с точностью около 5 MeV.

$$E = \frac{e}{2\pi} \oint B_{\perp} dl$$
$$\Delta E/E \gtrsim 10^{-3} - 10^{-4}$$
Relative accuracy

$$\Delta E \sim 0.1 - 0.5 \; MeV$$

Методы измерения энергии пучка: Стандартные-1

• Спектрометр: основан на отклонении частиц в специально откалиброванном магните. Для этого необходимо точно знать карту поля и орбиту пучка внутри магнита. В ИЯФе такой метод используют для выведенного пучка или для работы с Рассеянными Электронами.

На будущих коллайдерах этим методом предпо-

лагается побанчевое измерение энергии.

$$E = \frac{e}{\Delta \theta} \int B_{\perp} dl$$
$$\Delta E/E \gtrsim 10^{-4}$$

Методы измерения энергии пучка: Стандартные-2

• Расчет энергии в ВЭПП-4М. Абсолютная точность 5–25 MeV, относительная 0.1 – 1.0 MeV.

Вычисление по основному полю

 I_1 =600.0, H_1 =524.1 I_2 =700.0, H_2 =607.4 I_3 =1000.0, H_3 =856.8 I_4 =1600.0, H_4 =1354.3 I_5 =1900.0, H_5 =1602.5 I_6 =2200.0, H_6 =1849.8

$$H=H_6 + \frac{H_6 - H_5}{I_6 - I_5} (\mathbf{I_H} - I_6), \qquad E = 1.0449 \cdot H$$

$$E = 1.0449 \cdot [1849.8 + 0.8243 \cdot (\mathbf{I_H} - 2200.0)]$$

С учетом поправок от F7, D7, FS, DS

$$\begin{split} E &= 1.0449 \cdot \left[1849.8 + 0.8243 \cdot \left(\mathbf{I_H} - 2200.0 \right) \right] + \\ &+ 0.1121 \cdot \mathbf{I_{F7}} - 0.075 \cdot \mathbf{I_{D7}} - \\ &- 0.0230 \cdot \left(\mathbf{I_{FS1}} + \mathbf{I_{FS2}} \right) + 0.0168 \cdot \left(\mathbf{I_{DS1}} + \mathbf{I_{DS2}} \right) \end{split}$$

Методы измерения энергии пучка: Точные

• Использование края спектра обратного комптоновского рассеяния: Необходимо использовать детектор из ультрачистого германия и инфракрасный лазер (10μ m). Энергия отраженного фотона при встречном столкновении с пучком $E_{max}^{\gamma} \approx 4\gamma^2\omega_0$. Фотон с энергией 0.12 eV $E_b = 500-1800$ MeV переходит в диапазон 0.5-6 keV, где германиевый детектор достаточно хорошо работает.

$$E = \frac{E_{max}^{\gamma}}{2} \left(1 + \sqrt{1 + \frac{m^2}{E_{max}^{\gamma} \omega_{laser}}} \right)$$
$$\Delta E/E \gtrsim 3 \cdot 10^{-5}$$

Методы измерения энергии пучка: Точные-1

• Метод резонансной деполяризации Предложен и впервые применён ИЯФ в 1971 году (основные авторы – $E = mc^2 \left(\frac{g-2}{2}\right)^{-1} \times \left(\frac{\Omega_s}{\omega_{bes}} - 1\right)$ А.Н.Скринский.Г.М.Тумайкин.Ю.М.Шатунов) Необходимо определить частоту прецессии спина. Это делается методом разрушения поляризации пучка внешним переменным магнитным полем. По частоте, на которой происходит деполяризация, вычислятся энергия пучка.

$$E = mc^{2} \left(\frac{g-2}{2}\right)^{-1} \times \left(\frac{\Omega_{s}}{\omega_{\text{rev}}} - 1\right)$$
$$\Delta E/E \ge 10^{-6}$$

Самый точный метол!

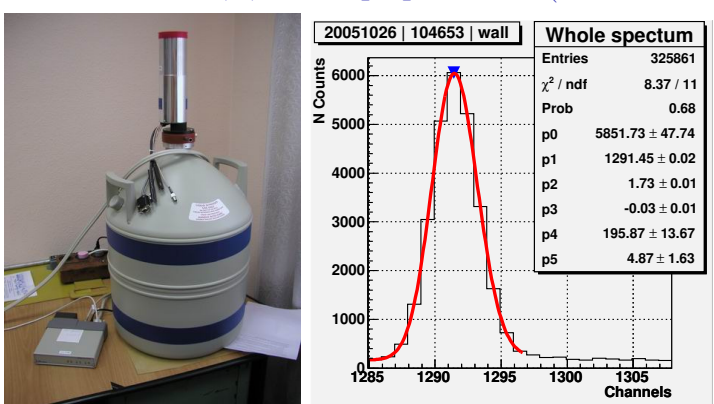
Обратное Комптоновское рассеяние (ОКР)

• Основная идея — лазерный луч, через систему управляемых зеркал, заводится в вакуумную камеру и фокусируетсяв нужном месте орбиты. Для ВЭПП-4М это место встречи. При рассеянии монохроматического лазерного излучения на e^{\pm} пучке, спектр отраженных фотонов квази-равномерный в интервале $0-\omega_{max}$, с резким правым краем.

$$\omega_{max} = \frac{4\gamma^2 \omega_0}{(1 + 4\gamma \omega_0/mc^2)}, \quad \gamma = E_b/m_e, \quad E_b = \frac{\omega_{max}}{2} \left(1 + \sqrt{1 + \frac{m^2}{\omega_{max}\omega_0}} \right)$$

- При энергии пучка 0.5–2.0 ГэВ фотон инфракрасного лазера около 0.12 эВ переходит в γ -квант с энергией 0.5-6 МэВ.
- Для измерения энергии γ-квантов используется полупроводниковый детектор на основе сверхчистого германия High Purity Germanium (HPGe).
 Чувствительность оклол 0.5 кэВ/канал. Эффективность регистрации по фотопику около 5% для края Комптона на 5 МэВ.
- Энергетическая шкала калибруется при помощи изотопных источников в интервале 0.5 – 2.6 МэВ. Для достижения точности вычисленя энергии 10⁻⁵ нужно иметь стат. и сист. ошибки для положения пиков ≤ 0.2 канала.

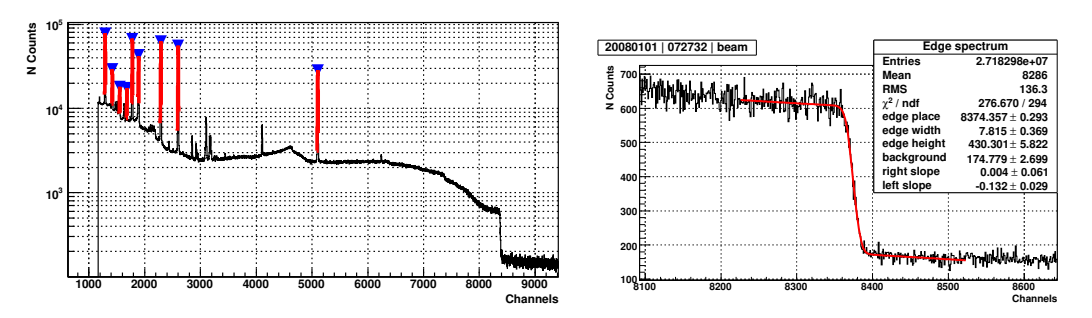
Детектор фотонов (Canberra 125 см³)



Линия изотопа Cs^{137} 661.657 кэВ

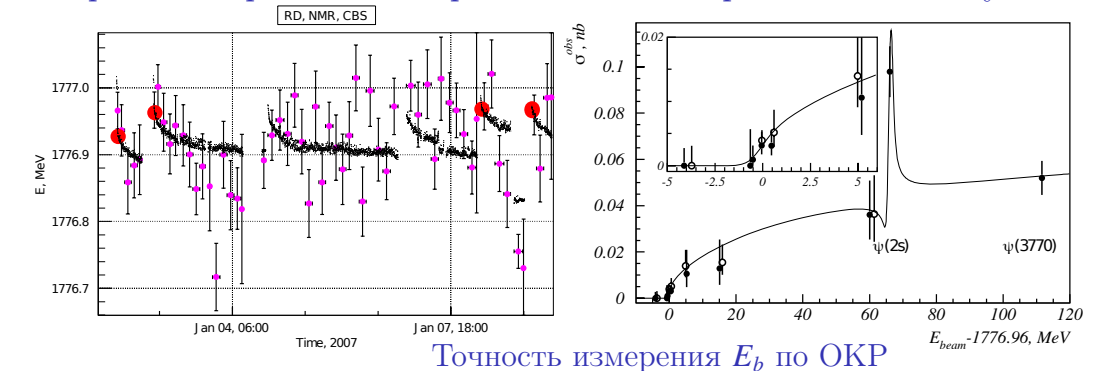
Разрешение детектора $\sigma(E) = (0.6 + 0.3 * E_{\gamma}[MeV])$ кэВ, (1-3) канала в нашей области. При рабочей загрузке ухудшается примерно в 2 раза.

Рабочие спектры ОКР



Красным показаны подгонки пиков и края.

Калибровка энергии в эксперименте по измерению массы тау-лептона



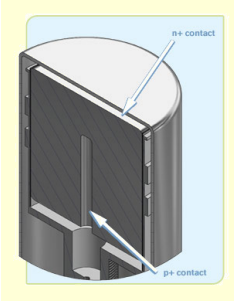
 $M_{\tau} = 1776.69^{+0.17}_{-0.19} \pm 0.15\,\mathrm{M}\mathrm{9B}$

составляла около 50 кэВ за 1 час набора спектров. Ошибка калибровки шкалы HPDG дает сист.ошибку 30-100 кэВ из-за неопределенности формы пиков от изотопных γ -квантов и нелинейнсти шкалы детектора.

HPGе детектор γ -квантов и его аппаратура

Hardware

HPGe coaxial detector, p-type or n-type



(image: www.canberra.com)

Multichannel Analyzer ORTEC® DSPEC ProTM



integral nonlinearity $\pm 250 \text{ ppm}$

(www.ortec-online.com)

Pulse Generator BNC PB-5



integral nonlinearity

 \pm 15 ppm

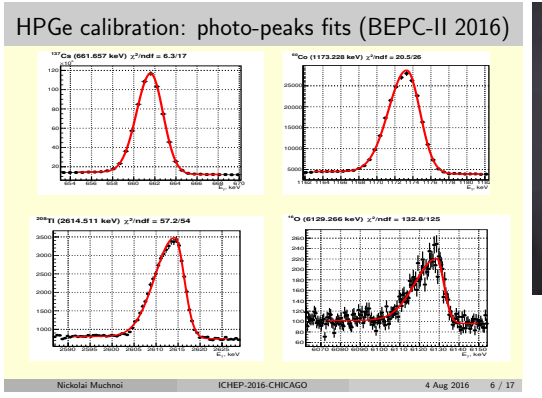
(www.berkeleynucleonics.com)

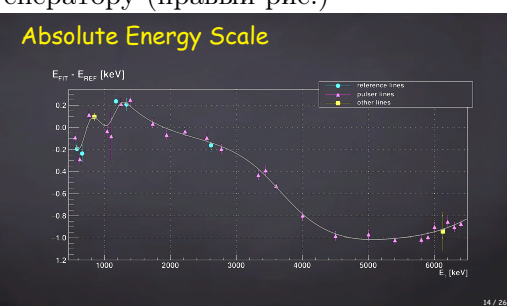


Калибровка шкалы HPGe по изотопным пикам и генератору точных сигналов.

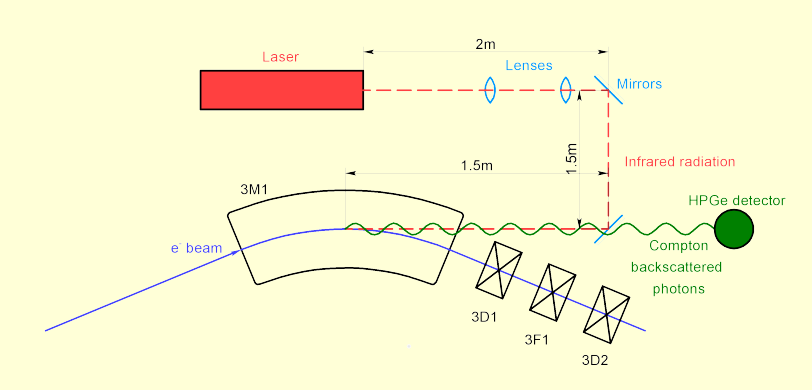
Калибровочные пики изотопных γ -квантов (левый рис.)

Нелинейность шкалы, определенная по генератору (правый рис.)





VEPP-2000 Beam Energy Measurement System

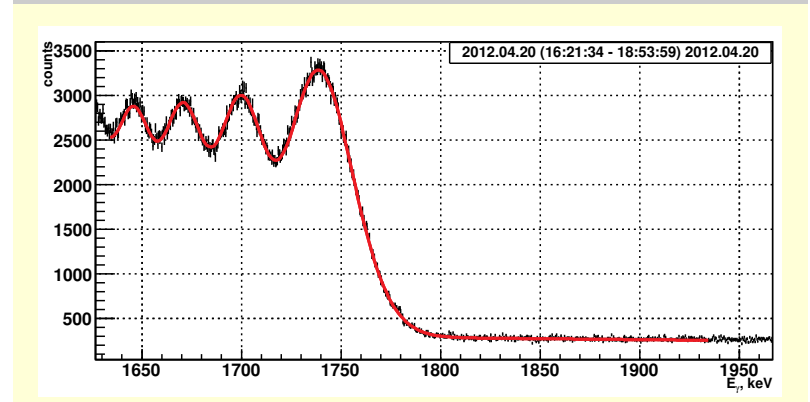


Beam orbit radius in the VEPP-2000 dipole $R=140\ \mathrm{cm}$

Nickolai Muchnoi ICHEP-2016-CHICAGO 4 Aug 2016 10 / 17

Спектр ОКР при работе на ВЭПП-2000

Experimental spectrum & fit / PRL 110 2013 140402



The edge of the energy spectrum with the fit result: $\chi^2/NDF=773.0/745, \ {\rm Prob.}\ =0.231,$

 $E = 993.662 \pm 0.016$ MeV, $B = 2.3880 \pm 0.0044$ T, $\sigma = 810 \pm 40$ keV.



Расчетный спектр ОКР для ВЭПП-2000 с учетом интерференции

Interference of scattered photons / PRL 110 2013 140402

The photon spectrum is:

$$\frac{d\dot{N}_{\gamma}}{d\hbar\omega\ d\psi} \propto \omega^{1/3} \operatorname{Ai}^{2}(x),$$

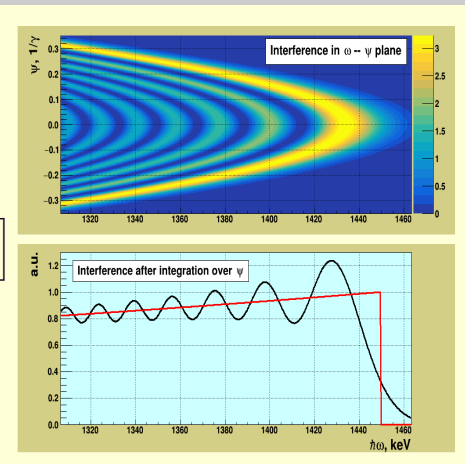
where

$$x = \left[\frac{\omega R}{2c}\right]^{2/3}\!\!\left[\frac{1}{\gamma^2} - \frac{4\omega_0}{\omega} + \psi^2\right]$$

and

$$\operatorname{Ai}(x) = \frac{1}{\pi} \int_{0}^{\infty} \cos\left(xt + \frac{t^3}{3}\right) dt$$

is the Airy function.



$$(\omega_0=0.117 \text{ eV}, E_e=900 \text{ MeV}, R=140 \text{ cm})$$

Идея метода резонансной деполяризации

Движение спина во внешнем поле

Томас, Френкель (1926), Bargmann, Michel, Telegdi (1959)

$$\frac{d\vec{s}^i}{d\tau} = 2\mu F^{ij} s_j - 2\mu' u^i F^{jk} u_j s_k$$

$$\frac{d\vec{s}}{dt} = \underbrace{2\mu \frac{\vec{s} \times \vec{B}'}{\gamma}}_{\text{динамическое}} + \underbrace{(\gamma - 1) \frac{\vec{s} \times [\vec{v} \times \dot{\vec{v}}]}{v^2}}_{\text{кинематическое}} = \vec{\Omega} \times \vec{s}$$
 е в с.п.э

Существенную роль играет аномальный магнитный момент электрона:

$$a_e = \frac{g-2}{2} = \frac{\mu - \mu'}{\mu_0}$$

В пиклическом накопителе

Теория движения "спина" в циклических машинах в значительной мере была разработана в ИЯФе в 70х годах. (Возможно, продолжается до сих пор – см. недавнюю работу А. Мильштейна по нейтронам.)

$$\Omega = \omega_{\text{obp}} \Big(1 + \frac{E}{m_e} a_e \Big)$$

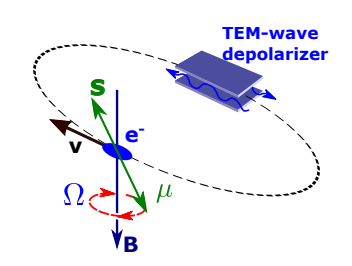
В любом месте накопителя есть мгновенная ось $\vec{\Omega}$, вокруг которой спин прецессирует. Если нет соленоидов, ось направлена по ведущему полю.

Идея метода резонансной деполяризации (РД)

Если на поляризованную частицу воздействовать локальным квази-проперечным магнитным полем, то спин начнет вращаться вокруг него на некий угол $\delta \varphi$. Для циклического/периодического движения пучка можно подобрать условия, при которых малые воздействия будут складываться (резонансно!) и диффузионно уменьшать поляризацию пучка. (А еще можно повернуть спин на большой угол без разрушения поляризации). Сегодняшняя точность знания μ', m_e около 10^{-10} , поэтому ошибка E_b , определяется точностю измерения частоты деполяризации.

Из-за цикличности движения, частота поляризации не уникальна. $\mathbf{O} = \omega \mathbf{n} + \omega \mathbf{n} \in \mathbb{Z}$

и движения, частота поляризации не
$$\Omega = \omega_0 n \pm \omega_d, \quad n \in \mathbb{Z}$$
 $E = 440.648\,462\,134(137)\,[\mathrm{M} ext{9}\mathrm{B}] imes \left(n-1\pm\frac{\omega_d}{\omega_0}\right)$



Что нужно для реализации метода РД?

- 1. Поляризованные пучки электронов
- 2. Поляриметр
- 3. Деполяризатор

Радиационная поляризация

Эффект Соколова-Тернова (1963)

Получение поляризованных пучков частиц достаточно непростая задача. Как оказалось, электроны в циклических машинах могут поляризоваться естественным путем за счет Синхротронного Излучения. В классической аналогии, магнитный момент диссипативно занимает минимальное значение по энергии $\vec{\mu} \cdot \vec{H}$.

В квантовом описании, при излучении кванта СИ верояности перехода с переворотом спина разные для параллельной и анти-параллельной конфигураций. Это приводит к постепенной поляризации пучка. Максимальная степень поляризации ограничивается квантовыми флуктуациями.

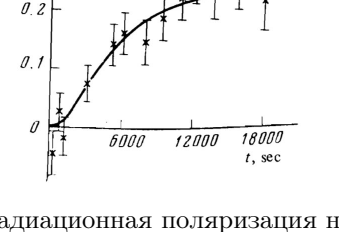
Радиационная поляризация-1

Для однородного поля Н авторы получили:

$$\tau_p = P_0 \frac{\lambda_C}{\alpha c} \frac{1}{\gamma^2} \left(\frac{H_0}{H}\right)^3 \qquad P_0 = \frac{8\sqrt{3}}{15} \approx 92.4\%$$

$$P(t) = P_0 \frac{\tau}{\tau_p} \left(1 - e^{-t/\tau}\right); \quad \tau = \frac{\tau_d \tau_p}{\tau_p + \tau_d}$$

 $H_0 = \frac{m_e^2 c^2}{q_e \hbar} \simeq 4.414 \times 10^{13} \Gamma c$ — поле Швингера. Параметр τ_d в последней формуле, "деполяризующее" время, возникает при учете неоднородности полей в реальных накопителях. В области пучковых резонансов, и когда $\frac{E}{m_e} a_e = n$ — целое, там τ_d мало, и поляризация близка к нулю. Максимальная степень рад.поляризации $P = P_0 \frac{\tau}{\tau_p}$. Первые наблюдения:



Радиационная поляризация на ВЭПП-2 с Тушековским поляриметром, 1974 г, τ = 70 мин

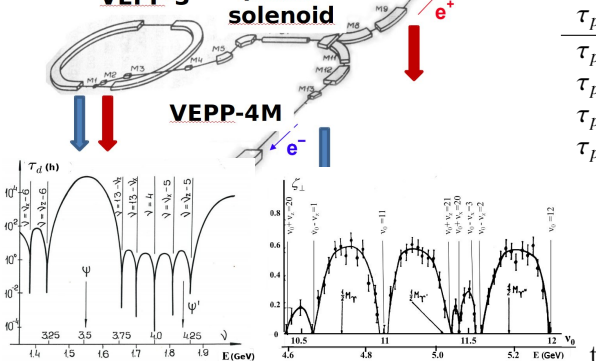
- ВЭПП-2 (Новосибирск), 1970 г.
- Кольцо АСО (Орсей), 1972 г.

Получение поляризованных пучков на ВЭПП-4М

Polarized beam injection into VEPP-4M ring

VEPP-3

pulse



Измереная степень поляризации на ВЭПП-4 с помощью лазерного поляриметра, 1984 г.

Время поляризации

Кольцо	ВЭПП-3	ВЭПП-4М
$ au_p$ [4]	$\frac{12}{E[\Gamma \ni B]^5}$	$\frac{1540}{E[\Gamma \ni B]^5}$
τ _p @ 1.55 ГэВ	1.34 ч	172 ч
$ au_p @ 1.85 \ \Gamma$ эВ	0.56 ч	71 ч
τ_p @ 4.1 ΓэΒ		80 мин
$\tau_{n} @ 4.73 \ \Gamma$ эВ		39 мин

- Хорошая поляризация пучка для J/ψ, ψ(2S), Υ(1S), Υ(3S)
- Проблемы с областью энергии τ -лептона для всех циклических коллайдеров (близко к целому резонансу с частотой обращения $\nu = 4$)

Измерение поляризации

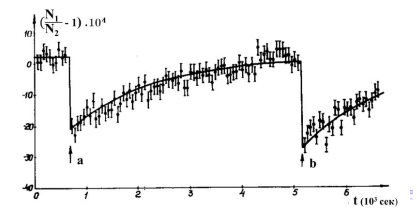
- Фиксированная мишень:
 - Рассеяние Мотта (спин-орбитальное взаимодействие), 100 кэВ < E < 5 МэВ): JLab
 - Moller рассеяние— поляризованные электроны на поляризованной мишени, $E \lesssim 1$ ГэВ): JLab, ИЯФ (поляризованные атомы водорода), и др.
- Тушековский (внутрисгустковый) поляриметр (ИЯФ, BESSY-I/II, ALS, SLS и др.). Подходит для энергий E < 2 ГэВ.
- Обратное комптоновское рассеяние (лучше подходит для E > 5 ГэВ):
 - Лазер: Cornell (CESR), DESY (DORIS), ИЯФ (ВЭПП-4), SLAC (SLD), LEP и др.
 - Синхротронное излучение от встречного (позитронного) пучка: ИЯФ (ВЭПП-4)
- Синхротронное спиновое излучение: ИЯФ, ВЭПП-4, 1983

Немного экзотики – Спиновый свет, который наблюдали в ИЯФе. • Указана возможность:

Благодаря интерференции с основным излучением возникает добавка СИ, пропорциональная $\frac{\hbar\omega}{E_b}P$, где P — степень поляризации пучка, ω — область спектра СИ, где ведутся измерения. При этом "полезное" число фотонов падает как $\exp{(-\omega/\omega_c)}$, $\omega_c = \frac{3eH}{2mc}\gamma^2$ — критическая частота.

Была установлена специальная магнитная змейка с полем в центральной части около 2 Т. Измерения делали при высоких энергиях, что давало много света и позволяла быстро поляризовать пучки. Работали в области параметров $\omega \approx 500~keV \approx 8\omega_c,~H=1.7~\mathrm{T},~E_b=5.1~\Gamma$ эВ:

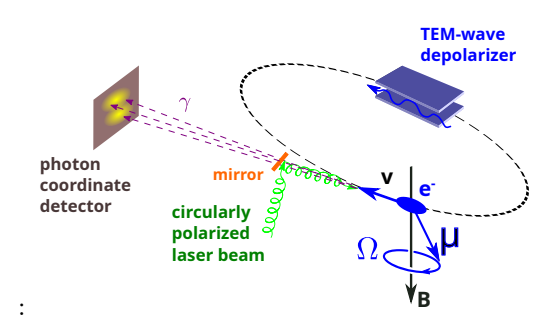
- Указана возможность: Байер+Хозе, 1969 г.
- Попробовали измерить: ВЭПП-3 в 1977 г.
- Увидели: в 1983 г на ВЭПП-4.
 Благодаря остроумной схеме измерениия, скачок интенсивности СИ (≤ 10⁻⁴) при деполяризации наблюдался с достоверностью ≥ 20 сигма.



Лазерный поляриметр

- Предложен в ИЯФ, Байер+Хозе (1969).
- Впервые реализован на SPEAR, SLAC (1979).
- Работал на ВЭПП-4 (1982):
- Применялся на LEP для измерения массы Z-бозона (1993).
- Снова сделан для ВЭПП-4М (примерно с 2020).

Асимметрия вверх-вниз для лево- и право-циркулярно поляризованного света, рассеиваемого на вертикально поляризованном электронном пучке, ω_0 — энергия лазерного фотона

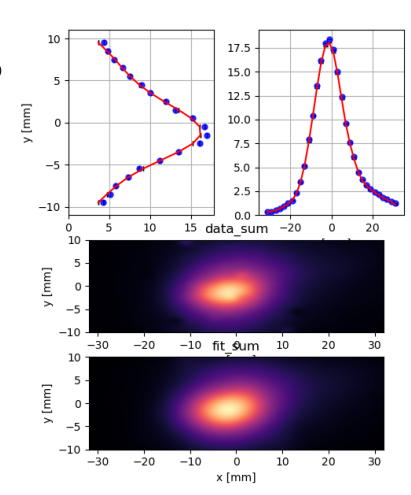


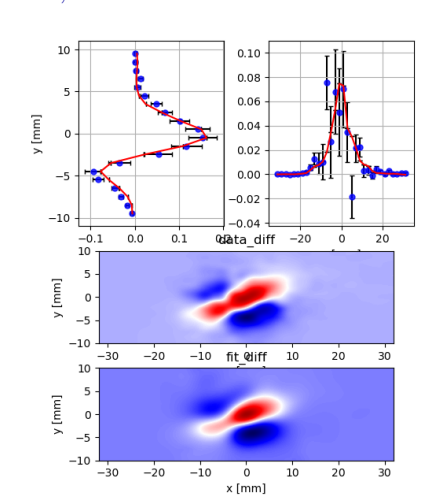
$$A = \frac{N_{\text{\tiny BBeDX}} - N_{\text{\tiny BHu3}}}{N_{\text{\tiny BBeDX}} + N_{\text{\tiny BHu3}}} \approx \frac{3}{4} \frac{E\omega_0}{m_e^2} P$$

Пример 2D-подгонки асимметрии координатных спектров на GEM-детекторе, ВЭПП-4M, 2024 г.

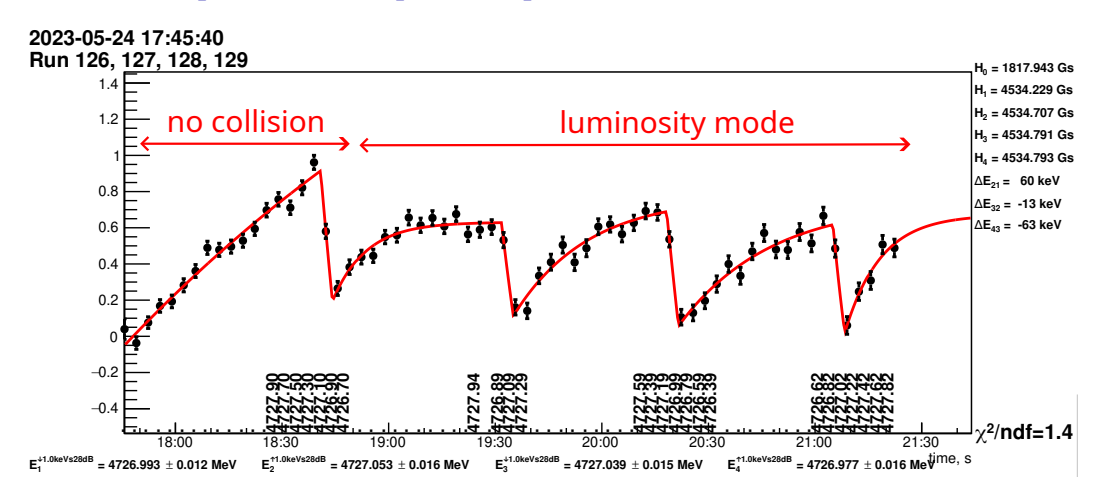
Fit results (fit method 3)

begin: 2023-05-24 18:34:00 end: 2023-05-24 18:34:50 $\chi^2/ndf = 717/636 = 1.13$ $prob(\chi^2) = 0.0143$ L = 29.90 m $P = 0.808 \pm 0.077$ $Q = -0.494 \pm 0.014$ $\beta = 40.57 \pm 0.73$ ° $DN = 0.002 \pm 0.001$ $k_{reg} = 1.0e - 4$





Измерения энергии пучка с помощью лазерного поляриметра непосредсвенно при наборе событий в области $\Upsilon(1S)$



Эффект Тушека. Тушековский поляриметр

В системе отчета пучка частицы имеют стохастическое движение и сталкиваются, обмениваясь малым импульсом δp , иногда вдоль орбиты. В лаб.системе это приведет к изменению $\Delta p = \pm \gamma \cdot \delta p$. При достаточно большом изменении, одна частица вылетит внутрь орбиты, а другая наружу.

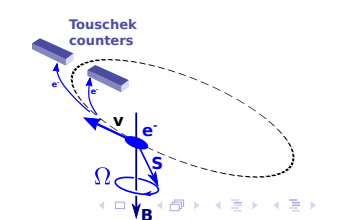
- Эффект Тушека, как причина потерь пучка, был открыт в 1963 г на кольце AdA.
- ИЯФ: Предложение использовать время жизни пучка для определения поляризации, Байер+Хозе, модель плоский пучок (1968).
- ИЯФ: Тумайкин предложил использовать сцинтилляционные счетчики на совпадение (1970).
- ИЯФ: 2D модель пучка(1976), уточнение с учётом релятивистских поправок (1978) и кулоновских эффектов (2011).

Внутрипучковое рассеяние $e^-e^- \rightarrow e^-e^-$

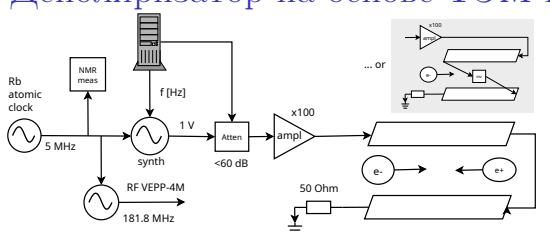
Скорость потерь зависит от квадрата степени поляризации и $\sim \gamma^{-3.5}, \, \eta \approx 0.1.$

$$d\sigma = d\sigma_0 \left(1 - (\vec{s_1} \vec{s_2}) \frac{\sin^2 \theta}{1 + 3\cos^2 \theta} \right)$$

$$\frac{dN}{dt} \approx A \frac{N^2}{V \gamma^2 (\Delta p/p)^2} (1 - P^2 \eta)$$



Деполяризатор на основе ТЭМ-волны в параллельных пластинах • Стабильность энергии



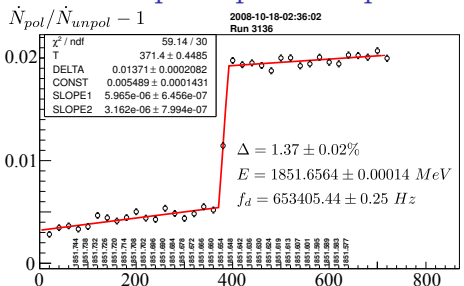
Спин e^{\pm} ориентирован по вертикали. Волна управляемой частоты бежит по пластине, поле H лежит в плоскости орбиты и поворачивает спин к орбите. Сила деполяризатора, определяющая время деполяризации, зависит от квадрата напряжения и от некой функции спинового отклика ("придуманной" в ИЯФе). Эта функция меняется в сотни раз в зависимости от энергии и места пластин относительно магнитной структуры.

 Стабилъность энергии непосредственно зависит от стабильности частоты обращения пучка.

$$\frac{\Delta E}{E} = -\frac{1}{\alpha} \frac{\Delta \omega_0}{\omega_0}$$

- Общий стандарт частоты на основе Rb с точностью 10^{-10} для BЧ ВЭПП-4М обеспечивает стабильность энергии 10^{-8} ($\alpha = 0.017$).
- Силу деполяризатора надо подобрать так, чтобы он не поворачивал все спины за один проход, а диффузно размешивал их. Но достаточно силен, чтобы время деполяризации было несколько секунд.

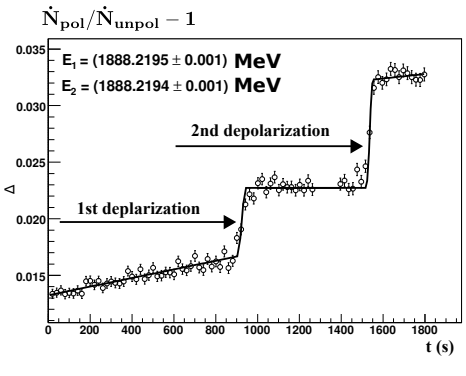
Пример калибровки энергии по эффекту Ташека

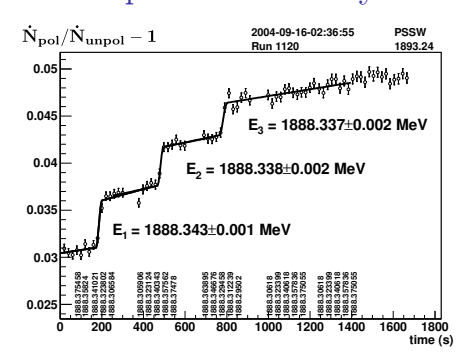


- Небольшие сцинтилляторы вводятся внутрь вакуумной камеры близко к пучку. Измеряется скорость счета каждые 10-30 сек.
- Для компенсации нестабильностей используется 2 сгустка, один поляризованный. Смотрят на отношение скоростей счета

- На пластины подается сигнал "бегущей" частоты, $f_d = 0.5 1$ М Γ ц. Скорость изменения частоты сотоветсвует 1-10 кэB/сек. Диапазон сканирование составляет 0.2 2 МэB.
- Момент деполяризации определяется по резкому изменению отношения скоростей счета.
- Величина скачка 0.2 2%.
- По графику подгоняется момент скачка и соответствующая частота.
- По частоте рассчитывается энергия с учетом целочисленного сдвига на $\Delta f_d = n \cdot \omega_0$. Точность ΔE_b несколько кэВ, относительная около 10^{-6}

Несколько калибровок с одним поляризованным пучком





Двойной переход

Тройной переход

Двойное и тройное сканирование вверх-вниз повышает надёжность калибровки энергии.

Подавляются случаи калибровки на боковых спиновых резонансах частотой 50 Гц.

- Какова точность метода? Разброс энергии e^{\pm} около $\delta \gamma = \Delta \gamma/\gamma_0 \sim 10^{-3}$ (в ВЭПП-4М). Откуда точность 10^{-6} ?
- Основной вклад в разброс энергии электронов не стохастический, а периодический. Напаример, синхротронные колебания: меняется энергия и частота обращения Если усреднить по времени, то для частоты деполяризации

$$\Omega = \Omega_0 - \omega_{\rm obp} v \frac{\alpha}{2} (\delta \gamma)^2 + \omega_{\rm obp} v \alpha \delta \gamma \sin \omega_{\gamma} t, \quad v = \gamma a_e , \ \alpha \sim 10^{-2}.$$

- Появляются боковые гармоники $\pm n\omega_{\nu}$ с падающей по n амплитудой. На них тоже будет происходить деполяризация, что усложняет измерения.
- Процес деполяризации можно описывать на языке осцилляторов есть резонанс и есть его ширина. Основная линия смещается и "уширяется"на величину $\Delta\Omega/\Omega \sim \alpha(\delta\gamma)^2 \sim 10^{-(8\div9)}$
- Ширина линии главного резонанса на ВЭПП-4М для энергий 2 5 ГэВ составляет 1 – 15 кэВ. Сканирование вверх и вниз по частоте помогает определить вклад ширины.
- Можно достичь точности лучше, чем ширина линии! Но тогда нужна хорошая модель динамики средней поляризации в процессе деполяризации. Раньше в большинстве измерений считалось, что деполяризация мгновенная.

Вопросы точного определения энергии на примере измерения масс J/ψ и $\psi(2S)$ 2003 г

Увидеть момент деполяризации и расчитать энергию пучка — для прецезионных измерений этого еще недостаточно! Ниже перечислены основные проблемы, которые встречают экспериментаторов и необходимые шаги для их решения.

- 1. Когда мы измеряем частоту резонансной деполяризации с $\Delta E_b \approx 1.5$ кэВ, нас еще "поджидают" :
 - Мелкие спонтанные изменения режима работы накопителя, которые могут вызвать скачки скорости счета или даже потерю поляризации.
 - Побочные спиновые резонансы, например $\Delta f_d = 50~\Gamma$ ц из-за пульсаций в магнитах
 - Часто режим измерения энергии несовместим с набором статистики. Поэтому необходимо учитывать дрейф энергии накопителя из-за релаксации магнитов, температуры и даже лунных приливов (до 10 МэВ для LEP).

Точность определения энергии-1

- 2. Учитывая предыдущее, после деполяризации надо рассчитать среднюю энергию пучка. Например, учетом ширины линии дает сдвиг 2.5 ± 1.0 кэВ.
- 3. Необходимо пересчитать энергию пучка к точке взаимодействия, так как энергия e^{\pm} монотонно уменьшается после ВЧ резонатора из-за синхротронного излучения. Поправка около 30 кэВ.
- 4. Для узкого резонанса разброс энергии в пучках приводит слегка негауссовому расределению светимости по $\frac{dL}{dW}$, которое, к тому же, зависит от точности сведения пучков по вертикали. Получается, что средняя $W \neq (E_{e^+} + E_{e^-})/2!$ Для $\Upsilon(1S)$ сдвиг $\Delta W \approx 40$ кэВ (свежие данные). Поправка для ψ составляет $\Delta W = (1-5)$ кэВ.
- 5. Там еще что-то (а может и много) осталось... Оставим это профессионалам!

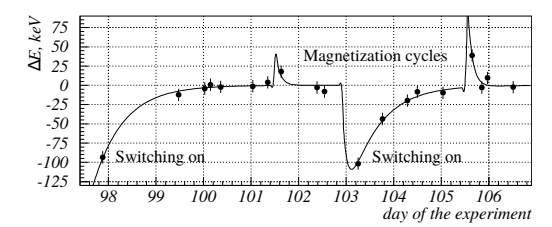
Интерполяция энергии между калибровками. Влияние релаксации магнитов и суточных изменений температуры

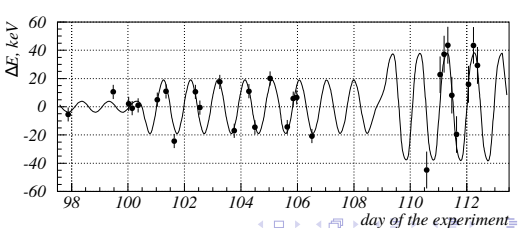
Функция предсказания энергии

$$\begin{split} &+ A(t) \cdot \cos \left(\frac{2\pi t}{\tau_{\mathrm{день}}} - \varphi(t)\right) + \\ &\delta E_{\mathrm{on}} \cdot \exp \left(-\frac{t_{\mathrm{on}}}{\tau_{\mathrm{on}}}\right) + \delta E_{\mathrm{цикл}} \cdot \exp \left(-\frac{t_{\mathrm{цикл}}}{\tau_{\mathrm{цикл}}}\right) + E_{0}(\Delta i, t), \end{split}$$

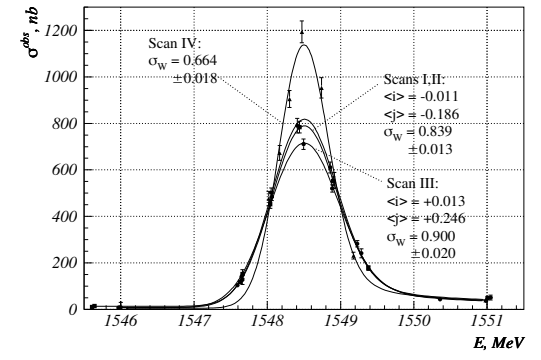
 $E = \alpha_H \cdot H_{\text{NMR}} \cdot (1 + \alpha_T \cdot (T_{\text{KOJIDJO}} - T_{\text{NMR}})) \times f(T_{\text{KOJIDJO}}, T_{\text{BOJJVX}}, T_{\text{BOJJA}}) +$

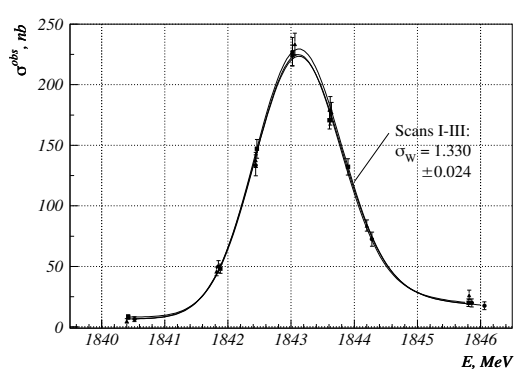
Точность предсказания энергии 6 ÷ 8 кеВ при 218 калибровках энергии





Измерение массы J/ψ (0.7 pb^{-1}) и $\psi(2S)$ (1.0 pb^{-1}) с детектором КЕДР 2003 г





$$M_{J/\psi} = 3096.900 \pm 0.002 \pm 0.006 \,\mathrm{MpB}$$

 $M_{\psi(2S)} = 3686.099 \pm 0.004 \pm 0.009 \,\mathrm{MpB}$

СПАСИБО ЗА ВНИМАНИЕ